

сообщения
объединенного
института
ядерных
исследований
дубна

793/2-80

25/2-80
Р6 - 12895

И.Адам, А.В.Будзяк, З.Гонс, М.Гонусек,
В.В.Кузнецов, Т.М.Муминов, К.М.Муминов,
Р.Р.Усманов, Ф.Пражак, М.Яхим

161
УРОВНИ T_m ,
ВОЗБУЖДАЕМЫЕ ПРИ РАСПАДЕ ^{161}Yb

1979

P6 - 12895

Адам И. и др.

Уровни ^{161}Tm , возбуждаемые при распаде ^{161}Yb

Исследовались спектры γ -лучей, конверсионных электронов, $e-\gamma$ -совпадений и трехмерных $\gamma\gamma t$ -совпадений при распаде ^{161}Yb . На основе анализа результатов предлагается и обсуждается схема возбужденных состояний ^{161}Yb . Измерено время жизни уровня 78,2 кэВ $^{161}\text{Tm}-T_{1/2} = (112 \pm 5) \times 10^{-9}$ с.

Работа выполнена в Лаборатории ядерных проблем ОИЯИ.

Сообщение Объединенного института ядерных исследований. Дубна 1979

Adam I. et al.

P6 - 12895

^{161}Tm Levels Excited at the ^{161}Yb Decay

Spectra of gamma-rays, of conversion electrons, $e-\gamma$ -coincidences and three-dimensional $\gamma\gamma t$ -coincidences were investigated at the ^{161}Yb decay. On the basis of results analysed a scheme of ^{161}Yb excited states is proposed. The lifetime of 78.2 keV level has been measured: $^{161}\text{Tm}-T_{1/2} = (112 \pm 5) \times 10^{-9}$ c.

The investigation has been performed at the Laboratory of Nuclear Problems, JINR.

Communication of the Joint Institute for Nuclear Research. Dubna 1979

© 1979 Объединенный институт ядерных исследований Дубна

P6 - 12895

I. ВВЕДЕНИЕ

Изотоп ^{161}Yb был впервые обнаружен И.Адамом и др.^{/1/}, определен период полураспада ^{161}Yb $T_{1/2} = 4,2(2)$ мин по спаду интенсивности $K_{\alpha\beta}$ (Tm) рентгеновских лучей и γ -лучей с энергией 78,17; 140,2; 188,2; 599,8 и 631,3 кэВ, возникающих при распаде ^{161}Yb .

Первый вариант схемы распада ^{161}Yb , включающий в себя шесть уровней с энергией 78,2; 638,7; 647,9; 678,1; 709,6 и 1180,7 кэВ ^{161}Yb , был предложен в работе ^{/2/}.

В настоящей работе исследовались спектры γ -лучей, конверсионных электронов, $e-\gamma$ -совпадений и трехмерных $\gamma\gamma t$ -совпадений при распаде ^{161}Yb . На основе анализа результатов предлагается и обсуждается схема возбужденных состояний ^{161}Yb , возникающих при бета-распаде ^{161}Yb .

2. УСЛОВИЯ ЭКСПЕРИМЕНТА. ЭКСПЕРИМЕНТАЛЬНЫЕ РЕЗУЛЬТАТЫ

2.1. Приготовление источников

Нейтронодефицитные изотопы редкоземельных элементов получались в реакциях расщепления тантала (гафния) протонами с энергией 660 МэВ на синхроциклотроне Лаборатории ядерных проблем ОИЯИ.

Мишени тантала (гафния) в виде металлической фольги толщиной 50 мкм и весом $\sim 0,5$ г облучались на выведенном пучке ($J = 0,1$ мкA) синхроциклотрона в течение 5–10 мин. Облученные мишени транспортировались при помощи пневмочечты и помещались в ионный источник с поверхностью ионизации^{/3/} электромагнитного масс-сепаратора^{/4/}.

Продукты ядерных реакций расщепления тантала (гафния) разделялись при помощи масс-сепаратора по изобарам по методу, описанному в работе /5/. При исследовании спектров γ -лучей для получения источников ^{161}Yb использовалась мишень из гафния. В этом случае получается лучшее соотношение выхода изотопов иттербия по сравнению с выходом изотопов тулля /6/. В остальных случаях исследования использовалась мишень из тантала.

Измерения радиоактивных источников изобары A = 161 начинались спустя 5 мин после окончания облучения, а в случае исследования спектров γ -совпадений спустя 10 минут.

2.2. Исследование спектров γ -лучей ^{161}Yb

Спектры γ -лучей измерялись при помощи спектрометров с полупроводниковыми детекторами (ПШД) - $\text{Ge}(\text{Li})$ -детекторами с чувствительными объемами 0,5 см³ с разрешением 0,8 кэВ при $E_{\gamma} = 122$ кэВ ^{57}Co и 4I см³ с разрешением 2,4 кэВ при $E_{\gamma} = 1332$ кэВ ^{60}Co . Спектры накапливались в 4096-канальном анализаторе АИ-4096, записывались на магнитную ленту и обрабатывались на ЭВМ НР-2ИІ6С.

На рис.1 и 2 представлены спектры γ -лучей изобары A = 161.

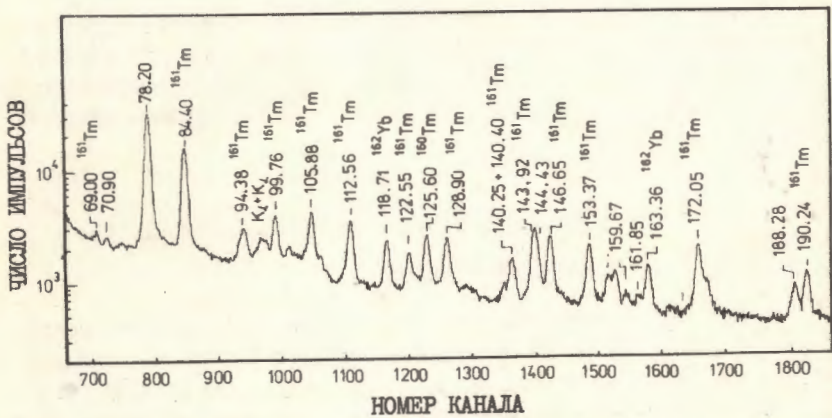


Рис.1. Участок спектра γ -лучей ^{161}Yb (изобары A = 161), полученный при измерении на спектрометре с $\text{Ge}(\text{Li})$ -детектором с чувствительным объемом 0,5 см³.

4

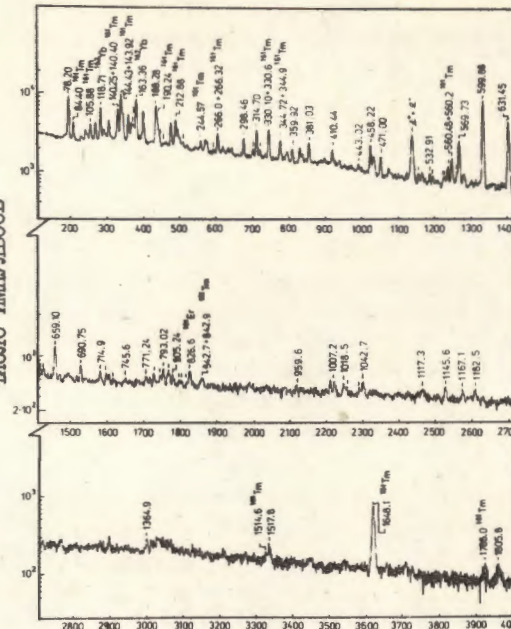


Рис.2 Спектр γ -лучей ^{161}Yb (изобары A = 161), полученный при измерении на спектрометре с $\text{Ge}(\text{Li})$ -детектором с чувствительным объемом 4I см³.

В измеренных спектрах γ -лучей помимо фотоников γ -лучей ^{161}Tm , ^{161}Er наблюденны фотоники γ -лучей ^{161}Er и в небольшом количестве соседних изобар. Гамма-лучи ^{161}Tm и ^{161}Er идентифицировались согласно работам /7,8/. Гамма-лучи, возникающие при распаде ^{161}Yb идентифицировались по спаду их интенсивностей в нескольких сериях измерений спектров изобары A = 161.

Энергии γ -лучей определялись при измерениях спектров изобары A = 161 вместе с калибровочными источниками ^{79}Y , ^{133}Ba , ^{182}Ta , ^{110}Ag , ^{152}Eu и ^{226}Ra . Кривые эффективности регистрации γ -излучения $\text{Ge}(\text{Li})$ -детекторами определялись с использованием стандартных источников и описывались аналитической функцией с шестью параметрами, как в работе /10/.

Определение интенсивности аннигиляционного излучения проводилось в специальном опыте в определенной геометрии с окружением источника поглотителем из свинца для более эффективной остановки позитронов.

5

Таблица I

Энергии и интенсивности γ -лучей, возникающих при распаде ^{161}Yb

$E_{\gamma} (\Delta E_{\gamma})$ кэВ	$J_{\gamma} (\Delta J_{\gamma})$	$E_{\gamma} (\Delta E_{\gamma})$ кэВ	$J_{\gamma} (\Delta J_{\gamma})$
$K_{\alpha} (J_m)$	530(40) ^{a)}	569,73(14)	43,2(20)
18,9		599,88(10)	197,5(92)
70,90(10)	3,7(8)	631,45(10)	105,5(4,6)
78,20(3)	260(20)	641,22(21)	4,2(5)
I40,25(8)	21,5(20)	644,9(4)	3,4(7)
I44,43(6)	35,0(40)	659,10(14)	24,6(10)
I59,67(18)	4,5(10)	690,75(20)	8,2(7)
I61,85(15)	5,3(10)	714,9(4)	4,0(7)
I88,28(5)	27,2(20)	722,15(23)	5,7(8)
I92,26(14)	4,4(4)	730,9(5)	2,0(7)
I97,7(5)	0,3	745,6(4)	1,9(5)
222,47(20)	I,8(3)	771,24(28)	3,5(6)
261,2(3)	I,8(5)	781,2(3)	4,3(8)
266,0(5)	6,0(20)	789,47(27)	4,3(5)
298,45(15)	I0,3(6)	793,02(23)	9,3(6)
310,3(3)	3,4(6)	800,45(28)	7,5(I0)
314,70(15)	20,3(8)	805,24(24)	5,4(6)
318,63(18)	4,9(4)	813,15(28)	3,0(4)
330,10(24)	21,0(13)	816,5(3)	2,3(4)
344,72(28)	II,0(10)	823,5(5)	I,8(6)
359,92(17)	8,5(6)	842,7(3)	4,5(6)
381,03(14)	I2,6(6)	959,6(4)	3,2(7)
410,44(17)	9,4(7)	I007,2(4)	7,0(8)
443,02(24)	3,I(5)	I018,5(4)	6,2(6)
458,22(16)	2I,8(8)	I022,0(4)	3,9(5)
471,00(10)	I2,6(7)	I038,2(5)	3,5(6)
5II	222(30) ^{b)}	I042,7(4)	7,7(6)
5I9,12(20)	4,8(5)	III7,3(5)	3,6(9)
532,9I(23)	4,8(7)	II45,6(5)	7,3(7)
536,6(3)	3,3(7)	II67,1(6)	4,5(7)
550,0(5)	2,0(6)	II82,5(5)	6,4(7)
552,I(5)	2,0(6)	I364,9(5)	7,3(7)
555,50(15)	II,I(6)	I517,8(5)	7,2(9)
560,48(20)	I6,2(12)	I805,8(15)	4,6(10)
566,92(22)	5,4(7)		

a) Значение интенсивности $K_{\alpha}(J_m)$ взято из работы /I/.

b) Значение интенсивности аннигиляционного излучения ^{161}Yb .

Результаты анализа спектров γ -лучей сведены в таблице I. Обнаружено 67 γ -переходов, принадлежащих распаду ^{161}Yb .

2.3. Исследование спектров конверсионных электронов

Измерение спектров конверсионных электронов проводилось при помощи спектрометра с $Si(\text{Li})$ -детектором толщиной 3 мм, площадью 150 mm^2 и разрешением 2,2 кэВ в области $E_e = 100 \text{ кэВ}$, и безжелезного бета-спектрометра с торOIDальным магнитным полем //II//.

Одновременное измерение спектров конверсионных электронов и γ -лучей при помощи ППД позволило определить мультипольности нескольких переходов, принадлежащих распаду ^{161}Yb относительным методом по γ -переходам, возникающим при распаде ^{161}Yb //II/. В таблице 2 приведены полученные значения коэффициентов внутренней конверсии и выводы о мультипольности для 8 переходов в ^{161}Yb .

Таблица 2

Значения коэффициентов внутренней конверсии (КВК) и выводы о мультипольности переходов в ^{161}Yb

E_{γ} , кэВ	КВК a)	Мультипольность
18,9 ^{b)}		
78,20 ^{b)}	0,12	E1 + 0,2% M2
I40,25	K I,7	E1, E2, MI
I44,43	K I,I	E1, E2, MI
I88,28	K 0,20	E1, E2
314,70	K 0,12	MI, (E2)
330,10	K 0,12	MI, (E2)
599,88	K 0,02	MI(E2)
631,45	K 0,023	MI(E2)

a) Погрешность в определении КВК составляла $\pm 30\%$.

b) Интенсивность $J_{K18,9}$ и $J_{K78,20}$ определялась при измерениях на бета-спектрометре с торOIDальным магнитным полем //II//.

Интенсивность конверсионных электронов перехода с энергией 18,9 кэВ определялась из спектра, измеренного при помощи безжелезного бета-спектрометра. При расчете баланса интенсивностей схемы распада ^{161}Yb принималось, что переход с энергией 18,9 кэВ типа E2 (см. ниже).

2.4. Исследование спектров γ - γ - t -совпадений

Для исследования спектров многомерных совпадений использовалась установка /12/ с двумя $\text{Ge}(\text{Li})$ -детекторами с чувствительным объемом 41 см^3 и 48 см^3 с разрешением $2,4 \text{ кэВ}$ и $2,8 \text{ кэВ}$ при $E_{\gamma} = 1332 \text{ кэВ}$ ^{60}Co , соответственно. Временное разрешение аппаратуры составляло $25 \cdot 10^{-9} \text{ с}$. Спектры совпадений регистрировались в матрице $4096 \times 4096 \times 4096$ каналов и записывались на магнитную ленту ЭВМ HP2116C, сортировались и обрабатывались по методике, описанной в работе /12/. На рисунке 3 показан выбранный из матрицы спектр задержанных совпадений γ -лучей с γ -лучами с энергией $78,2 \text{ кэВ}$.

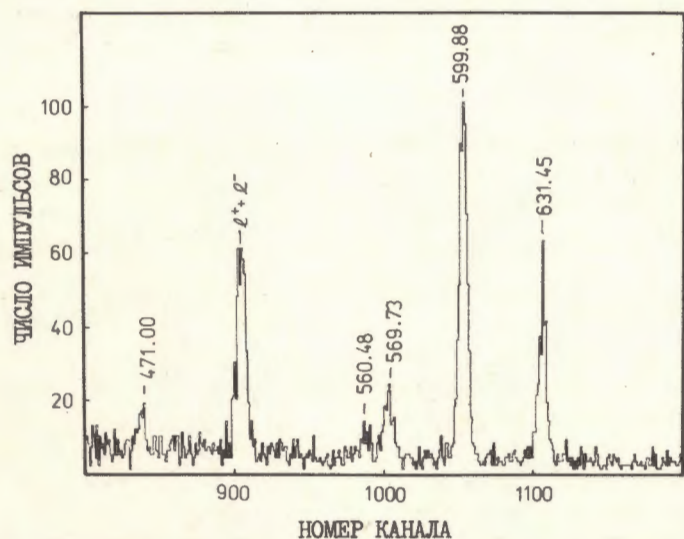


Рис.3 Спектр задержанных γ 78,20 - γ -совпадений.

Из анализа временного распределения совпадений γ 78,20 кэВ с γ -лучами ^{161}Yb оценено значение периода полураспада возбужденного уровня с энергией 78,2 кэВ ^{161}Ym : $T_{1/2} = 140(20) \times 10^{-9} \text{ с}$ (рис.4).

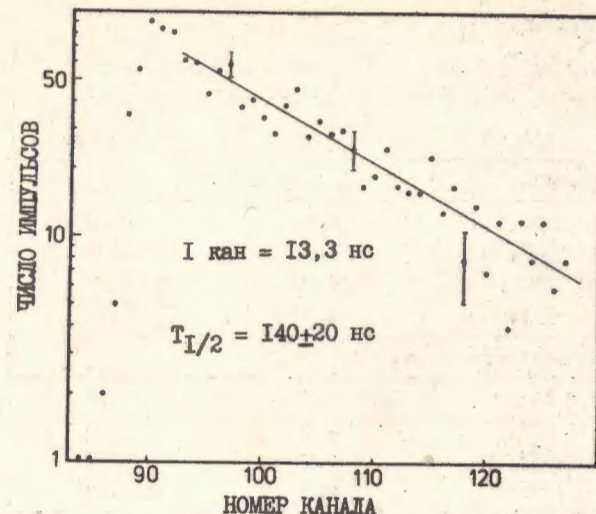


Рис.4 Кривая временного распределения (γ 78,20- γ 599,88)-совпадений, полученная при обработке γ - γ - t -совпадений.

В таблице 3 сведены результаты обработки многомерных спектров γ - t -совпадений.

2.5. Исследование спектров $e\gamma$ -совпадений

Измерения спектров $e\gamma$ -совпадений проводились при помощи установки /13/, созданной на базе безжелезного бета-спектрометра с тороидальным магнитным полем /11/ и спектрометра с $\text{Ge}(\text{Li})$ -датчиком с чувствительным объемом 35 см^3 (энергетическое разрешение $3,5 \text{ кэВ}$ при $E_{\gamma} = 1332 \text{ кэВ}$ ^{60}Co). Временное разрешение установки составляло $50 \times 10^{-9} \text{ с}$.

Измерения спектров $e\gamma$ -совпадений длились полчаса с использованием шести источников в каждом случае (рис.5).

Информация накапливалась в памяти 4096-канального амплитудного анализатора ICA-70 с выводом на цифровую печать и плоттер.

На рис.5 приведены спектры совпадений γ -лучей с электронами К 78,20, К 144,43 и М 18,9 ^{161}Yb , а также спектр γ -лучей изобары А = ^{161}A (вверху). На этом же рисунке показан участок спект-

Таблица 3

Результаты анализа спектров $\gamma\gamma t$ -совпадений при распаде ^{161}I

E_γ , кэВ	E_γ , кэВ	$J_{\gamma\gamma}$ эксп. а)	$J_{\gamma\gamma}$ расч. б)
Задержанные (γ 78,20 - γ) совпадения			
78,20	560,48	~8,5	10,0
	569,73	25,8	26,7
	599,88	122,0	≈ 122,0
	631,45	64,3	65,4
Мгновенные $\gamma\gamma$ -совпадения			
144,28	266,0	~3,2	6,0
298,46	159,67	~2,8	3,5
569,73	532,91	~6,8	4,8
631,45	471,00	II,7	≈ II,7

а) Погрешности в определении интенсивностей совпадений составляют 20% для интенсивных совпадений и ≤ 50% для случаев совпадений, обозначенных ~.

б) Расчетные значения $J_{\gamma\gamma}$ получены согласно предложенному нами варианту схемы распада ^{161}Yb .

ра конверсионных электронов изобары $A = 161$, измеренный на безжелезном бета-спектрометре (вверху справа).

В таблице 4 приведены относительные интенсивности γ -лучей, полученные из анализа спектров $e\gamma$ -совпадений, здесь же даны интенсивности, рассчитанные из предлагаемой нами схемы распада ^{161}Yb .

Как видно из рис.3 и 5, таблиц 3 и 4 результаты $e\gamma$ -совпадений хорошо согласуются с данными анализа $\gamma\gamma$ -совпадений (γ 78,2- γ).

2.6. Исследование времени жизни уровня с энергией

78,2 кэВ ^{161}Tm

Нами исследовались временные распределения совпадений при распаде изобаров $^{161}\text{Yb} \rightarrow ^{161}\text{Tm} \rightarrow ^{161}\text{Er}$ как методом $\gamma\gamma t$ -совпадений (γ 78,2- γ - t), так и методом совпадений γ -лучей ($E_\gamma > 30$ кэВ) с ЭВК К 78,2 $^{161}\text{Yb} + L27,9 ^{161}\text{Tm}$, при помощи установки

Таблица 4

Результаты анализа спектров $e\gamma$ -совпадений при распаде ^{161}Yb

Конверсионные электронные переходы	E_γ , кэВ	$I_{e\gamma}$ эксп. а)	$I_{e\gamma}$ расч. б)
Задержанные $e\gamma$ -совпадения			
К 78,20	560,48	2,7	3,0
	569,73	II,2	7,9
	599,88	37,5	36,3
	631,45	19,5	≈ 19,5
Мгновенные $e\gamma$ -совпадения			
К 144,43	266,0	~1,7	1,5
	298,46	~2,5	≈ 2,5
	458,22	~2,8	
M 18,9	140,25	~1,6	2,9
	659,10	~3,3	≈ 3,3
	690,75	~2,6	1,1

а) Погрешности в определении интенсивностей совпадений γ -лучей с К 78,20 составляют ≤ 20%, для совпадений с К 144,43 и М 18,9 ~ 50%.

б) Расчетные значения $I_{e\gamma}$ получены согласно предложенному нами варианту схемы распада ^{161}Yb .

На рис.6 представлено временное распределение (К 78,2 $^{161}\text{Yb} + L27,9 ^{161}\text{Tm}$) γ -совпадений. Левый склон характеризует время жизни уровня с энергией 189 кэВ ^{161}Er ($T_{1/2} = 73(3) \times 10^{-9}$ с), правый склон кривой характеризует время жизни уровня с энергией 78,2 кэВ ^{161}Tm ($T_{1/2} = 112(5) \times 10^{-9}$ с). Оценка $T_{1/2}$ уровня 78,2 кэВ ^{161}Tm , полученная из анализа $\gamma\gamma t$ -совпадений (рис.4), не противоречит этому результату.

На рис.5 вверху (справа) показан участок спектра ЭВК изобары $A = 161$.

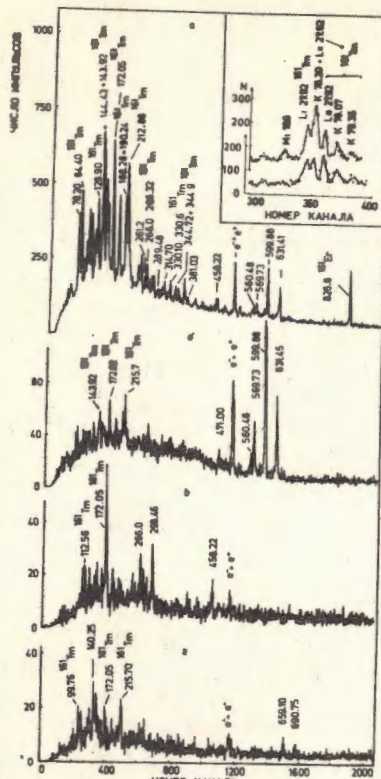


Рис.5 Спектр γ - и $e\gamma$ -совпадений γ -лучей при распаде ^{161}Yb .
 а) Спектр γ -лучей изобары $A = 161$;
 б) Спектр задержанных совпадений γ -лучей с К 78,20;
 в) Спектр мгновенных совпадений γ -лучей с К 144,43;
 г) Спектр мгновенных совпадений с М 18,9 вверху, справа - участки спектра ЭВК изобары $A = 161$, измеренные с интервалом $\Delta t = 6$ мин.

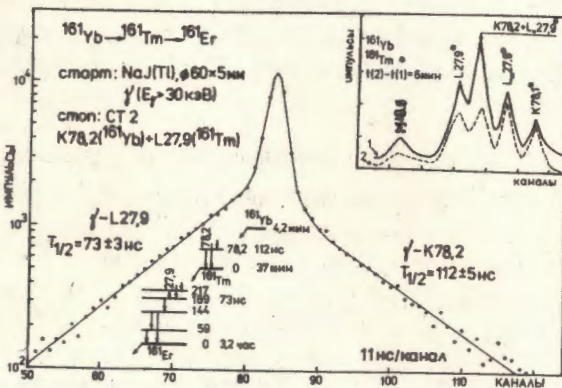


Рис.6 Кривая временного распределения ($L_{27.9}^{161}\text{Tm}$ + $K_{78.2}^{161}\text{Yb}$) $\gamma(E_\gamma > 30$ кэВ) совпадений при распаде изобары $A = 161$. Справа, вверху - участок спектра ЭВК изобары $A = 161$.

3. ОБСУЖДЕНИЕ РЕЗУЛЬТАТОВ

3.1. Схема распада $^{161}\text{Yb} \rightarrow ^{161}\text{Tm}$

На основе анализа спектров γ -лучей, ЭВК, $\gamma\gamma t$, мгновенных и задержанных $e\gamma$ -совпадений нами предлагается схема распада $^{161}\text{Yb} \rightarrow ^{161}\text{Tm}$. При составлении баланса интенсивностей схемы распада для относительно высокоэнергетических переходов принималось $J_{\text{полн.}} \approx J_\gamma$. Предполагая, что в основное состояние ^{161}Tm не идет бета-распад ^{161}Yb , мы оценили из отношения $\delta/\beta^+ / 14$ энергию распада ^{161}Yb равной $Q = 3850(250)$ кэВ.

На рис.7 показана схема распада ^{161}Yb , включающая в себя уровни с энергией 18,90; 78,20; 144,43; 159,20; 410,44; 442,90; 602,65; 638,63; 647,93; 678,10; 709,65 и 1180,7 кэВ. В схеме распада переход с энергией 159,67 кэВ размещен в двух местах. На основе анализа мгновенных совпадений (γ 298,40 γ 159,67) он размещен между уровнями с энергией 602,65 и 442,90 кэВ. Однако $J_{\gamma\gamma}$ эксп. меньше $J_{\gamma\gamma}$ расч. Исходя из этого, мы заключили, что переход с энергией 159,67 кэВ сложный. В схеме распада не размещено $< 20\%$ по интенсивности γ -переходов. Из анализа интенсивности K_X -излучения можно сделать заключение о возможном су-

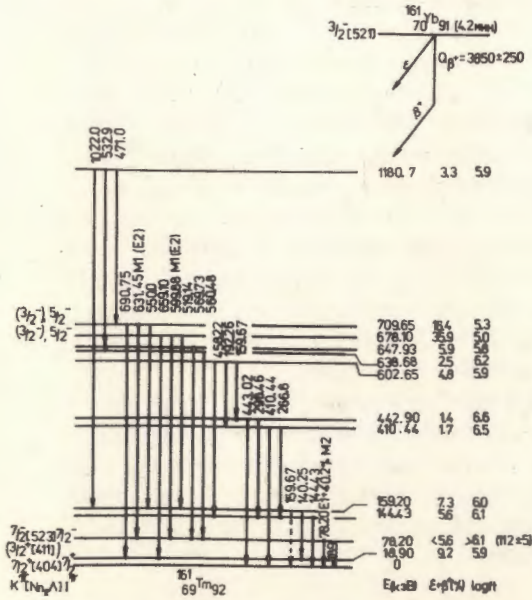


Рис.7 Схема распада $^{161}\text{Yb} \rightarrow ^{161}\text{Tm}$

ществовании высоковозбужденных состояний ^{161}Tm , заметно заселяемых при бета-распаде ^{161}Yb .

3.2. Идентификация состояний ^{161}Tm

По аналогии с ядрами с $N = 91 / 15$, предполагаем, что основное состояние ^{161}Yb имеет квантовые характеристики $3/2^-/521/$. Спин основного состояния ^{161}Tm измерен Экстремом и Ламмом $^{16}/$ и равен $7/2$. В работе $^{17}/$ оно идентифицируется как состояние $7/2^+/404/$. Вблизи состояния $7/2^+/404/$ в соседних ядрах, состояния которых рассчитывались с использованием потенциала Саксона-Вудса $/15/$, имеются состояния $7/2^-/523/$. Однако состояние $7/2$, $7/2^-/523/$ не может быть основным состоянием ^{161}Tm , так как при бета-распаде ^{161}Tm с относительно малой вероятностью заселяются состояния ротационной полосы $5/2^-/523/$ $^{161}\text{Er}^{17}/$ (большие значения $\log ft$). Квантовые характеристики $7/2$, $7/2^-/523/$ мы приписываем состоянию с энергией 78,2 кэВ ^{161}Tm . Это следует из сравнения с соседними ядрами туния: из значений энергии и времени жизни этого уровня, разряженного типичным EI-переходом $7/2^-/523/ \rightarrow 7/2^-/404/$ $^{17}/$.

В ближайшем ядре ^{165}Tm состояние $7/2^-/523/$ с энергией 160,47 кэВ идентифицировано как в ядерных реакциях, так и при бета-распаде $^{165}\text{Yb}^{18}/$. При бета-распаде ^{163}Yb авторы работы $^{19}/$ состояние $7/2^-/523/$ ^{163}Tm идентифицировали при энергии 86,95 кэВ. Андрейчев и др. $^{17}/$ характер зависимости $B(EI)$ от массового числа A для переходов $7/2^-/523/ \rightarrow 7/2^+/404/$ объясняют предположением об изменении величины гексадекапольной деформации. Чунг и др. $^{20}/$ на основе величин энергий возбужденных состояний в ядрах туния $^{165}\text{Tm} + ^{171}\text{Tm}$ также делают заключение о том, что изменяется значение гексадекапольной деформации, а величина квадрупольной деформации остается приблизительно постоянной. Полученные нами значения $B(EI) = 4,9 \times 10^{-9} \text{ е}^2 \cdot \text{барн}$ и фактор торможения по Вайскопфу $F_w(EI) = 1,2 \times 10^6$ для перехода с энергией 78,2 кэВ не противоречат этому заключению.

Введенное нами возбужденное состояние ^{161}Tm с энергией 18,9 кэВ вероятнее всего можно интерпретировать как состояние $3/2^+/404/$, либо $5/2^+/402/$. Однако для однозначной идентификации необходимо провести дополнительные эксперименты по определению, по крайней мере, мультипольности перехода 18,9 кэВ и измерению времени жизни этого состояния.

Мультипольности переходов с энергией 599,88 и 631,45 кэВ указывают на то, что состояния с энергией 678,08 и 709,65 кэВ имеют отрицательную четность. Значения $\log ft$ не противоречат выводу о квантовых характеристиках $3/2^-/521/$ основного состояния ^{161}Yb .

Состояния с энергией выше 600 кэВ

По величинам значений $\log ft$ для близлежащих уровней в области 600–700 кэВ можно сделать предположение, что они являются фрагментированными состояниями.

а) В случае переходов с энергией 599,88 и 631,45 кэВ типа E2 спины и четности уровней с энергией 678,08 и 709,65 кэВ будут $J^\pi = 3/2^-$. Наиболее вероятной примесью в этих состояниях является $5/2^-/ + Q_{\alpha\alpha}$. Однако, как и в случае $^{163}\text{Tm}^{21}/$, трудно построить такой вибрационный фонон в микроскопической модели, чтобы объяснить малые значения $\log ft$.

б) Если же предположить, что мультипольности переходов с энергией 599,88 и 631,45 кэВ типа M1, то возможна примесь волновых функций $5/2^-/523/$ в этих состояниях по аналогии с $^{163}\text{Tm}^{21}/$.

в) Исходя из значений $\log ft$, можно предположить, что в этой области энергий фрагментирована волновая функция трехквазичастичного состояния $\{ p \ 7/2^-/523/, n \ 3/2^-/521/, n \ 5/2^-/523/ \}$. Более высокие состояния ^{161}Tm можно интерпретировать как состояния с примесью волновой функции трехквазичастичного состояния с $K^\pi = 1/2^-$ и вибрационных состояний. Согласно работе $^{22}/$, трехквазичастичные состояния данного вида с $K^\pi = 1/2^-$ должны быть выше трехквазичастичных состояний с $K^\pi = 5/2^-$.

Нами были вычислены энергии одночастичных состояний нечетных изотопов туния с использованием потенциала Саксона-Вудса и с учетом парного взаимодействия. Параметры потенциала были выбраны в соответствии с $^{23}/$: глубина потенциальной ямы $V_0 = 59,2$ МэВ, константа спин-орбитального взаимодействия $\alpha = 0,355 \text{ фм}^2$, $R_0 = 1,25 \text{ фм}$ и параметр размытия края потенциальной ямы $\alpha' = 1,63 \text{ фм}^{-1}$. В согласии с работой В.Г.Соловьева $^{24}/$, было принято значение парной энергии $\Delta = 1,0$ МэВ. Все расчеты производились для $A = 165$ при различных значениях квадрупольной – ϵ_2 и гексадекапольной – ϵ_4 деформации. Необходимость введения гексадекапольной деформации ϵ_4 для нечетных изотопов туния была обусловлена анализом приведенных вероятностей переходов $7/2^+/404/ \rightarrow 7/2^-/523/$ и согласно работе $^{20}/$. Наилучшее согласие с экспериментом ранее

в /20/ было достигнуто при вычисленных значениях ϵ_4 /25/ с добавлением к нему величины - 0,02. Нами же были приняты значения квадрупольной и гексадекапольной деформаций, как в работе /26/, в которой вычислены состояния нечетных изотопов туния, за исключением того, что все значения ϵ_4 мы изменили на величину - 0,02, как в /25/.

Параметры деформации для нечетных изотопов тогда равны:

A	I6I	I63	I65	I67	I69	I7I
ϵ_2	0,22	0,25	0,26	0,26	0,26	0,26
ϵ_4	-0,035	-0,02	-0,01	0	0,01	0,02

При сравнении теоретических и экспериментальных данных следует подчеркнуть, что расчет проводился в рамках модели независимых квазичастиц (без учета остаточного взаимодействия) и что параметры потенциала специально не подгонялись. Несмотря на это, можно сделать заключение о том, что зависимость рассчитанных энергий от A соответствует экспериментальным данным, и что это согласие нельзя получить без введения гексадекапольной деформации.

В заключение авторы благодарны К.Я.Громову за помощь и ценные замечания, А.Ф.Новгородову, Ю.В.Юшкевичу - за приготовление источников.

ЛИТЕРАТУРА

1. Адам И. и др. ОИЯИ, Р6-7760, Дубна, 1974; Изв. АН СССР, сер. физ. 1974, 38, с.1572.
2. Адам И. и др. Тезисы докладов XXVII Совещания по ядерной спектроскопии и структуре атомного ядра, Алма-Ата, 1978, с.96.
3. Beyer G. et al. Nucl.Instr.and Meth.,1971, 96, p.437.
4. Musiol G., Raiko V.I., Tyrroff.H. Preprint JINR,P6-4487,Dubna,1969.
5. Iatuszynski A. et al. Preprint JINR,E6-7780, Dubna, 1974.
6. Beyer G.J. et al. Preprint ZFK-307, Rossendorf, 1976.
7. Адам И. и др. Изв. АН СССР, сер. физ., 1975, 39, с.1679.
8. Tuli J.K. Nucl.Data Sheets.,1974,13, n.4, p.493.
9. Александров В.С. и др. ОИЯИ,Р6-7308, Дубна, 1973.
10. Mc Nelles L.A., Campbell J.L. Nucl.Instr.and Meth.,1973,109,p.241.
- II. Громов К.Я. и др. В сб.:Прикладная ядерная спектроскопия. Атомиздат,1978, 8, с.59.
12. Гонусек М. и др. ОИЯИ,IO-I0007, Дубна, 1976.

13. Кузнецов В.В. и др. ОИЯИ,Д6-II1574, Дубна, 1978.
14. Джелепов Б.С. и др. В кн.: Бета-процессы. Наука, Ленинград, 1972.
15. Громов К.Я. и др. ЭЧАЯ, 1975, 6, вып. 4, с.97I.
16. Ekstrom C.,Olsmast M., Wannberg B. Nucl.Phys.,1971,A170, p.649.
17. Schilling K.D., Andrejtscheff W.,Winter G. J.Phys.,1977,63,n.9, p.1255.
18. Adam I. et al. CERN, 76-13, 1976, p.406.
19. Adam I. et al. Preprint JINR,E6-8886, Dubna, 1975.
20. Cheung H.C., Burke D.G.,Lohloiden G.Can.J.Phys.,1974,52,p.2108.
21. Gromov K.Ya. et al. Nucl.Phys.,1975, A254, p.63.
22. Громов К.Я. и др. ЭЧАЯ, 1971, I, с. 527.
23. Гареев Ф.А. и др. ЭЧАЯ, 1973, 4, вып. 2, с. 357.
24. Соловьев В.Г. Теория сложных ядер, Наука, 1971, с. 167.
25. Nielsen B.S., Bunker M.E. Nucl.Phys.,1975, A245, p.376.
26. Ekstrom C., Lamm I.-L. Physica Scripta,1973, 7, p.31.

Рукопись поступила в издательский отдел
30 октября 1979 года.